

京都大学防災研究所 正員 村山朔郎

松岡元

京都大学大学院 学生員 北村良介

1. まえがき 粒子の微視的挙動の解析から、モーピライズ面に着目した応力～ひずみ関係式を導き、これまで砂やカラスビースを用いて三軸圧縮、三軸伸張、平面ひずみ、相異なる主応力下での実験を行なってきた。そして物理的な意味の明確な係数入、 μ 、 μ' 、 λ を決めるこことによって、一般的な応力条件下でのせん断特性が統一的に説明できることを検証してきた。ここでは、粘性土について平均有効主応力一定の排水三軸圧縮、排水三軸伸張試験を行ない、砂やカラスビースの場合と同様に、せん断時の力学特性を統一的に説明できる結果を得られたりで報告する。またダイレイタンシーハッピング、紫田、輕部⁵⁾が行なってある整理方法との比較も行なう。

2. 試料、実験の手順 試料は粉末状の過錆藤の森粘土を水で十分練り、その後、直径25cmの大型円形圧密容器で圧密圧力 $\sigma_0 = 0.5 \text{ kg/cm}^2$ まで圧密したものを用いた。 $\sigma_0 = 0.5 \text{ kg/cm}^2$ で圧密終了時、せん断終了時の含水比はそれぞれ $w = 37.67 \sim 38.22\%$ 、 $w' = 27.83 \sim 31.90\%$ である。供試体の寸法は高さ8cm、径0.23.5cmで成形したものを用いた。試験はN.G.I型三軸試験機によつて、ひずみ制御で行なつた。ひずみ速度は $10 \text{ mm/mm}^2/\text{min}$ である。なお伸張試験についてはフックのヒートピストンヒゲを入れるミゾのあるキャップを用いた。供試体は所要の拘束圧 $c = 1, 2, 3 \text{ kg/cm}^2$ まで等方圧密し、1次圧密終了した時点(約1日後)で平均主応力端を一定に保ちながらせん断を行なつた。実験中の供試体の変形は、軸方向についてテイナルケージにより、体積変化はビュレットにより測定した。またせん断時の軸圧はロードセルにより測定し、側圧を変化させることにより平均主応力端を一定に保つた。

3. 土の応力～ひずみ関係式 モーピライズ面上($\sigma_{xy} = \max(\sigma_x, \sigma_y)$)上の応力～ひずみ関係式は次のとおりである。

$$\frac{\partial \sigma_x}{\partial \epsilon_x} = \lambda (-\frac{\partial \epsilon_y}{\partial \epsilon_x}) + \mu \quad \dots \dots \dots (1)$$

$$\frac{\partial \sigma_x}{\partial \epsilon_x} = \lambda (-\frac{\partial \epsilon_y}{\partial \epsilon_x}) + \mu' \quad \dots \dots \dots (2)$$

(1), (2)式をあわせて微分方程式を解けば次式を得る。

$$\frac{\partial \sigma_x}{\partial \epsilon_x} = 2.3 (\mu' - \mu) \log \frac{\epsilon_y}{\epsilon_x} + \mu \quad \dots \dots \dots (3)$$

$$\epsilon_y = \frac{\mu - \mu'}{\lambda} \cdot \epsilon_x + (2.3 \log \frac{\epsilon_y}{\epsilon_x} - 1) \quad \dots \dots \dots (4)$$

ここで、 σ_x 、 ϵ_x 、 ϵ_y はそれぞれモーピライズ面上のせん断、主直応力比、せん断ひずみか、垂直ひずみであり、 λ 、 μ 、 μ' は試料に固有な、ほぼ一定な係数であり、 μ は初期の粒子構造を評価するパラメータと考へられる。(3), (4)式に主応力と主ひずみ増分の方向が一致するという条件を入れて(4)式、主応力比と主ひずみ関係に変換すると次式を得る。

$$G_1 = \frac{\lambda_0}{2} \exp \left(-\frac{\mu - \mu'}{\lambda_0} \right) \exp \left\{ \frac{X}{2(\mu' - \mu)} \right\} \cdot \left\{ \frac{1}{\lambda} X^2 + \left(\frac{1}{2} - \frac{\lambda}{\lambda_0} \right) X + (\mu' - \mu)^2 - (\mu' - \mu) + \frac{3\mu'}{\lambda_0} + 1 \right\} = 9.0\% \quad \dots \dots \dots (5)$$

$$G_2 = \frac{\lambda_0}{2} \exp \left(-\frac{\mu - \mu'}{\lambda_0} \right) \exp \left\{ \frac{X}{2(\mu' - \mu)} \right\} \cdot \left\{ -\frac{1}{\lambda} X^2 + \left(\frac{1}{2} - \frac{\lambda}{\lambda_0} \right) X - (\mu' - \mu)^2 - (\mu' - \mu) + \frac{3\mu'}{\lambda_0} + 1 \right\} = 9.0\% \quad \dots \dots \dots (6)$$

但し $X = \sqrt{\epsilon_y - \epsilon_x}$ 、 $f(1) = g(1) = 0$ とする。

さらに複合モーピライズ面上の概念を導入することによって、三軸圧縮、三軸伸張の場合には次式を得る。

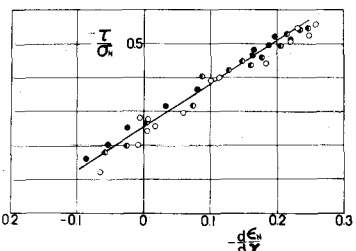
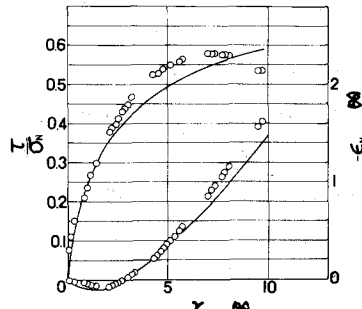
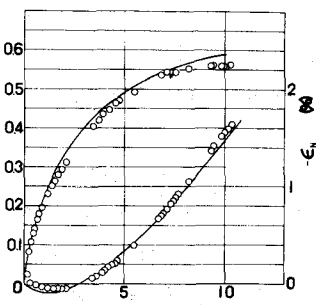


図-1

 σ_{xy}/σ_0 ～ ϵ_{xy} 関係図-2 ($\sigma_m = 3 \text{ kg/cm}^2, \text{comp.}$)モーピライズ面上の σ_{xy}/σ_m ～ ϵ_{xy} 関係図-3 ($\sigma_m = 3 \text{ kg/cm}^2, \text{est.}$)モーピライズ面上の σ_{xy}/σ_m ～ ϵ_{xy} 関係

三軸圧縮 ($\sigma_3 = \sigma_1$)

$$\epsilon_1 = 2f(\sigma_{\text{eff}}), \quad \epsilon_3 = \epsilon_2 = g(\sigma_{\text{eff}}), \quad \Delta\epsilon = 2\{f(\sigma_{\text{eff}}) + g(\sigma_{\text{eff}})\} \quad \dots \dots \dots (7)$$

三軸伸張 ($\sigma_1 = \sigma_2 \geq \sigma_3$)

$$\epsilon_1 = \epsilon_2 = f(\sigma_{\text{eff}}), \quad \epsilon_3 = 2g(\sigma_{\text{eff}}), \quad \Delta\epsilon = 2\{f(\sigma_{\text{eff}}) + g(\sigma_{\text{eff}})\} \quad \dots \dots \dots (8)$$

4. 実験データによる検証 (7), (8)式より三軸圧縮試験では測定した ϵ_1 を1/2倍し、三軸伸張試験では測定した ϵ_3 を1/2倍して、主応力と主ひずみ増分の方向が一致するという条件のもとに計算すれば单一のモーピライズ面上の関係式(1), (2), (3), (4)式に対する整理ができる。このようにして三軸圧縮、三軸伸張試験結果を $\sigma/\sigma_m \sim -\frac{\Delta\epsilon}{\epsilon_m}$ 関係(4)(8)式で整理したもののが図-1である(OEP: $\sigma_m = 3 \text{ kg/cm}^2$, ext., OEP: $\sigma_m = 2 \text{ kg/cm}^2$, ext., OEP: $\sigma_m = 1 \text{ kg/cm}^2$, comp.)。拘束圧 σ_m の大小、圧縮、伸張の区別なく $\lambda = 1.3$, $\mu = 0.25$ の直線上にのることがわかる。他に試験についても同様の結果を得られている。次に $\sigma/\sigma_m \sim \epsilon_1$ 関係(4)(8)式で整理したもののが図-2(圧縮), 図-3(伸張)であり、これらより $\lambda = 1.3 \pm 1\%$ を得られる。さらに $\sigma/\sigma_m \sim \epsilon_3$ 関係(4)(8)式の図(省略)より $\mu = 0.4$ を得られる。図-2, 3にはこれらの係数 $\lambda = 1.3$, $\mu = 0.25$, $\mu' = 0.4$, $\rho_0 = 1\%$ を(3), (4)式に代入して得られた計算曲線を実測データと共に示している。これらのデータを主応力比へ主ひずみ関係に換算したもののが図-4(OEP: $\sigma_m = 3 \text{ kg/cm}^2$, ext., OEP: $\sigma_m = 3 \text{ kg/cm}^2$, comp.)であり、図中の実線は伸張、点線は圧縮の計算曲線(7), (8)式)を示している。

さて、ダイレイタンシー量($\Delta\epsilon$)を基に、軽部の整理に従うて $(\sigma - \sigma_m)/\sigma_m$ にフロットしたのが図-5である。⁵⁾この図より、この整理方法では三軸圧縮と三軸伸張との間に明らかな差が存在するようと思われる。なおこの実験事実はCambridge学派のstate boundary surfaceが三軸圧縮、三軸伸張について対称であるといふ主張と矛盾するものである。また図中の実線、点線は(4), (6), (7), (8)式より得られた計算曲線である。一方、 $\sigma/\sigma_m \sim \epsilon_1$ 関係を整理したもののが図-1である。図よりで、ゆるによれば三軸圧縮、三軸伸張を統一的に説明できることがわかる。以上より粘性土の排水三軸圧縮、三軸伸張試験の場合も複合モーピライズ面上の概念を導入したモーピライズ面上の応力へひずみ関係にとづけば、統一的に説明できることが検証された。これらの事実から土のせん断現象を整理する場合、モーピライズ面上ので、ひずみ現象を支配するより本質的リバラメーターのように思われる。粘性土は砂に比べるとデータにバラツキがあり、今後より多くのデータの集積が排水三軸試験だけでなく非排水三軸試験、平面ひずみ試験、相異る3主応力下での試験について必要と思われる。最後に本研究に対して適切な御助言をいたたいた京大柴田徹教授、神戸大幹部大蔵助教授に感謝いたします。また測定の手伝いをしてもらつた京大研究室藤村氏に謝意を表します。

参考文献

- 1). 松岡元: せん断時の土の応力へひずみ関係について、京大防災研年報第15号B, 1972
- 2). 村山朝郎、松岡元、服部若樹: 三軸圧縮、伸張条件下的土の応力へひずみ関係について、第8回国土開発工学研究発表会, 1973
- 3). 松岡元: 三軸応力下の土の応力へひずみ関係について、第8回国土開発工学研究発表会, 1973
- 4). 松岡元、橋本正: 三軸試験機の誤作とその測定結果の解析について、第8回国土開発工学研究発表会, 1973
- 5). Shibata, T. and Kaneko, D.: Influence of the variation of the intermediate principal stress on the mechanical properties of normally consolidated clays, Proc. 6th Int. Conf. Soil Mech. I, 357~363

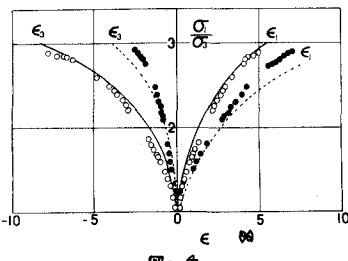


図-1
主応力比へ主ひずみ関係

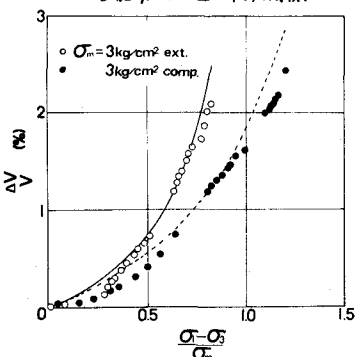


図-2
ダイレイタンシー量($\Delta\epsilon$)～ σ_0/σ_3 関係

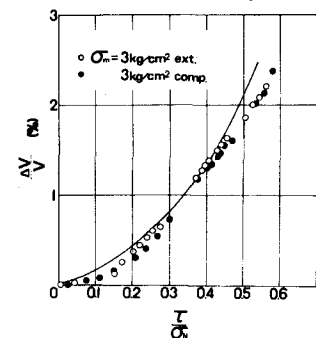


図-3
ダイレイタンシー量($\Delta\epsilon$)～ σ_3/σ_1 関係

図-4
主応力比へ主ひずみ関係